

1/11

Fig. 1

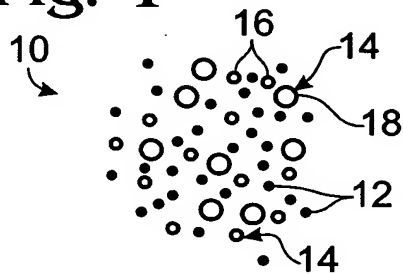


Fig. 2

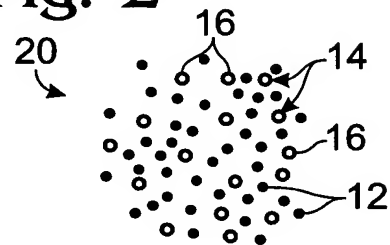


Fig. 3

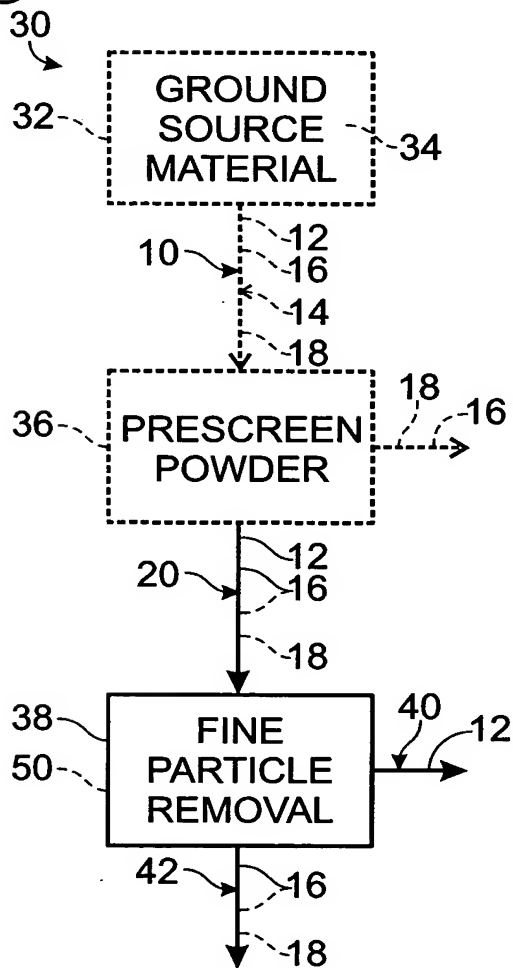


Fig. 4

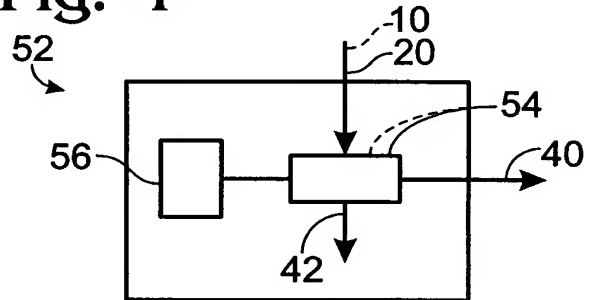


Fig. 7

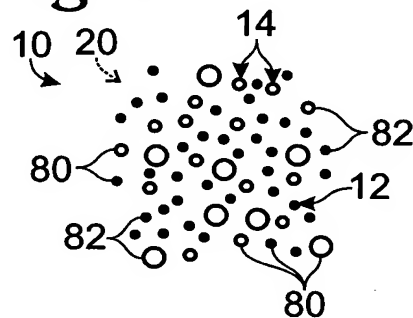
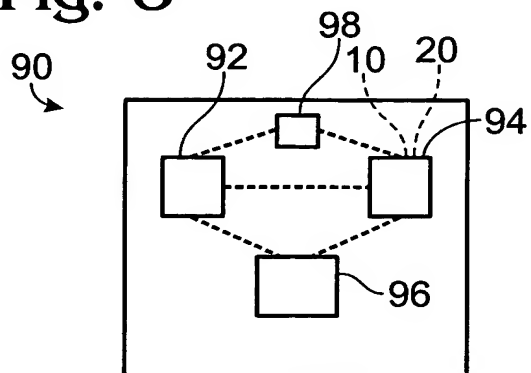


Fig. 8



2/11

Fig. 5

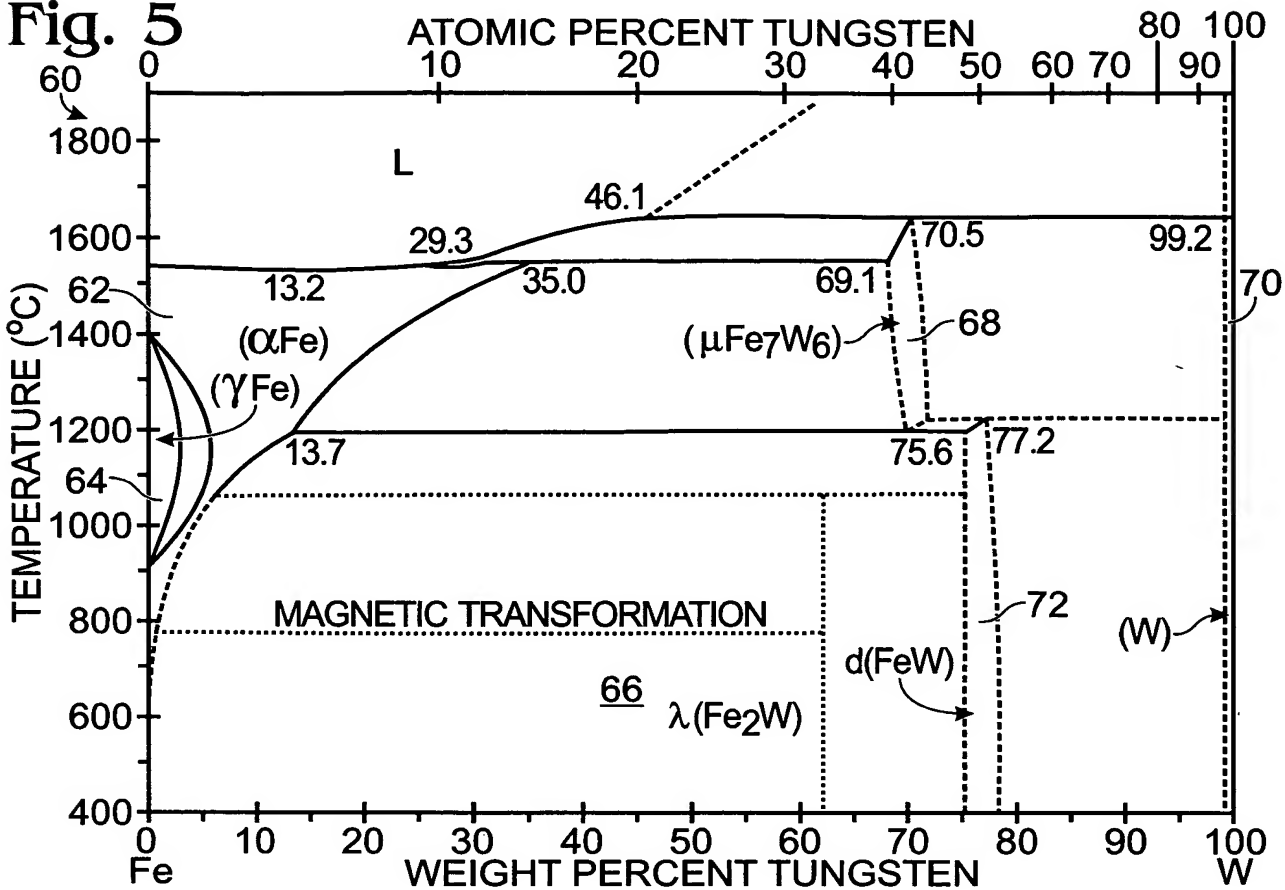
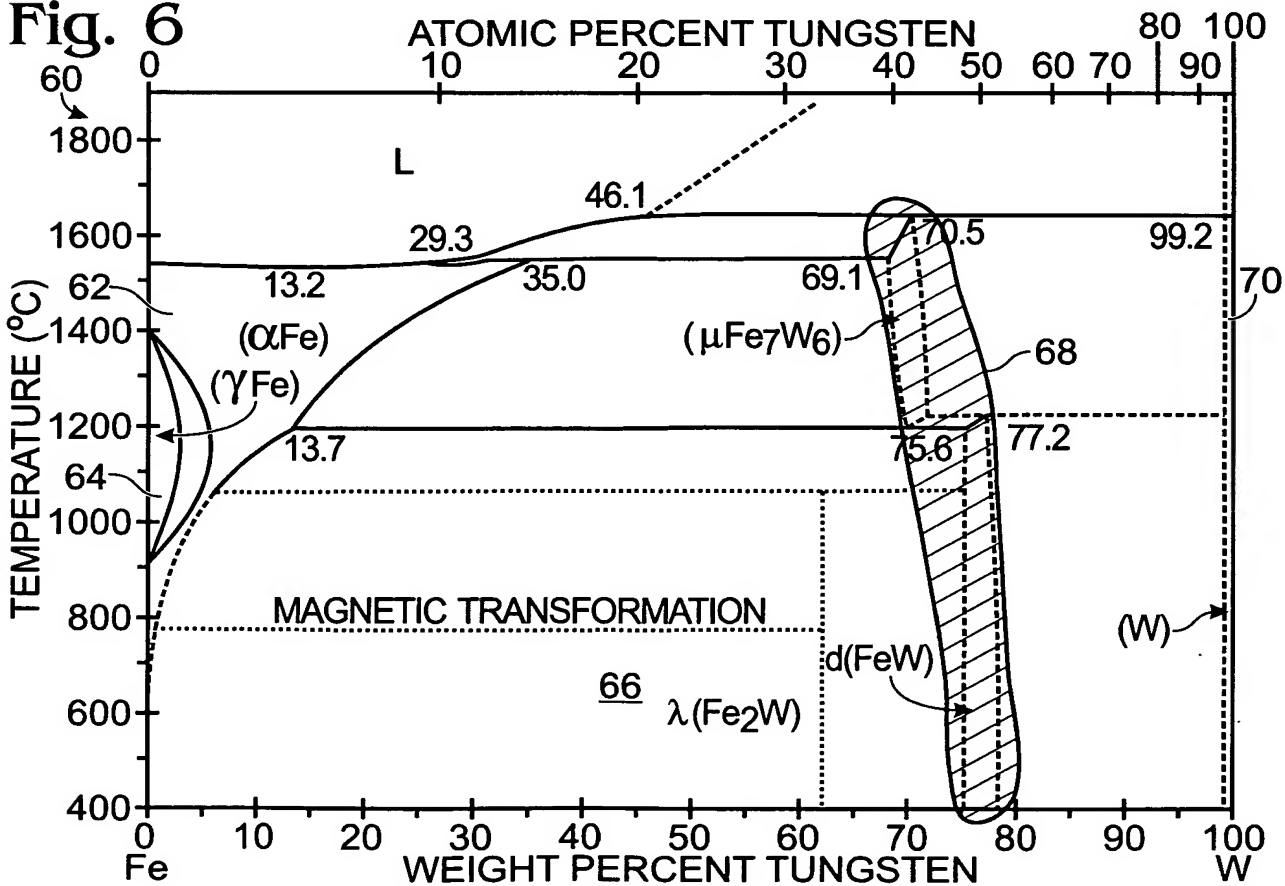


Fig. 6



3/11

Fig. 9

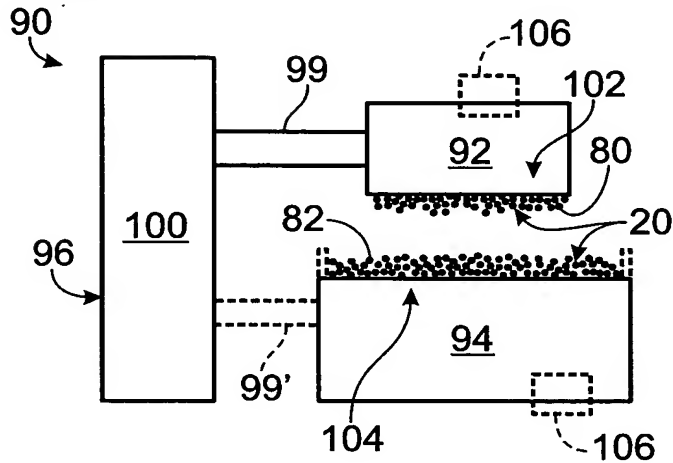


Fig. 10

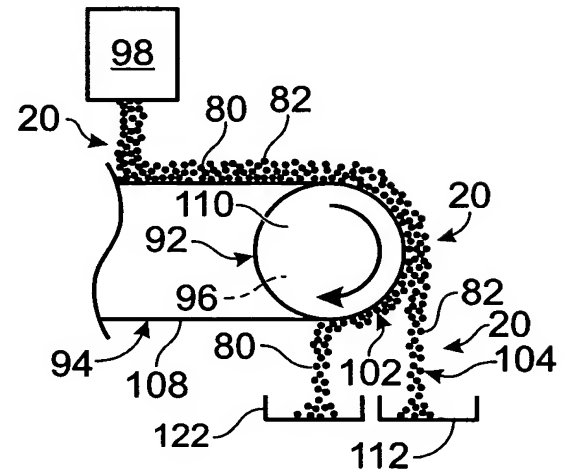


Fig. 11

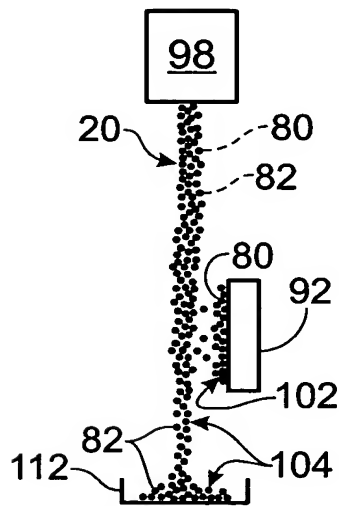
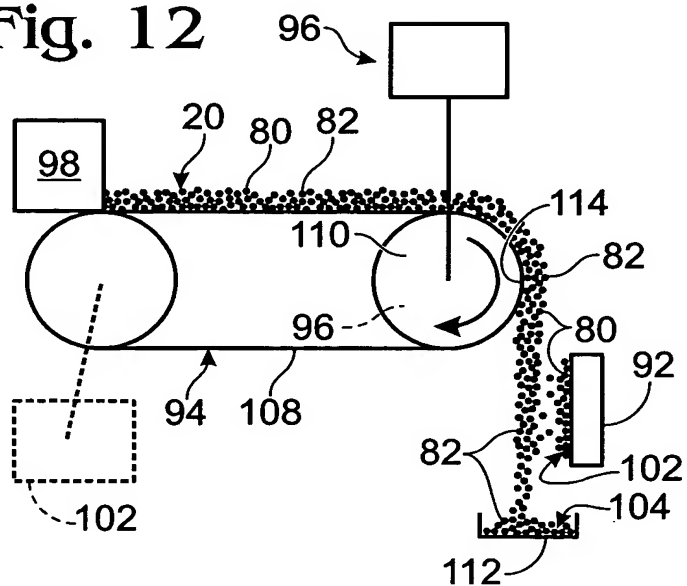


Fig. 12



4/11

Fig. 13

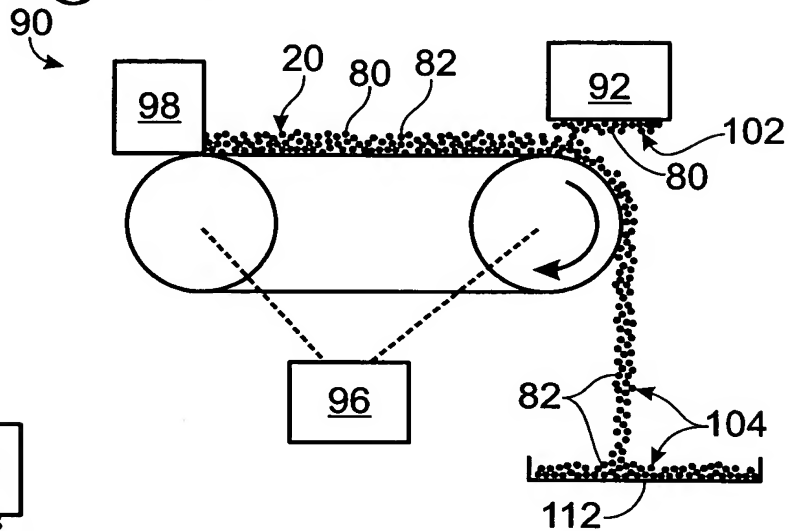


Fig. 14

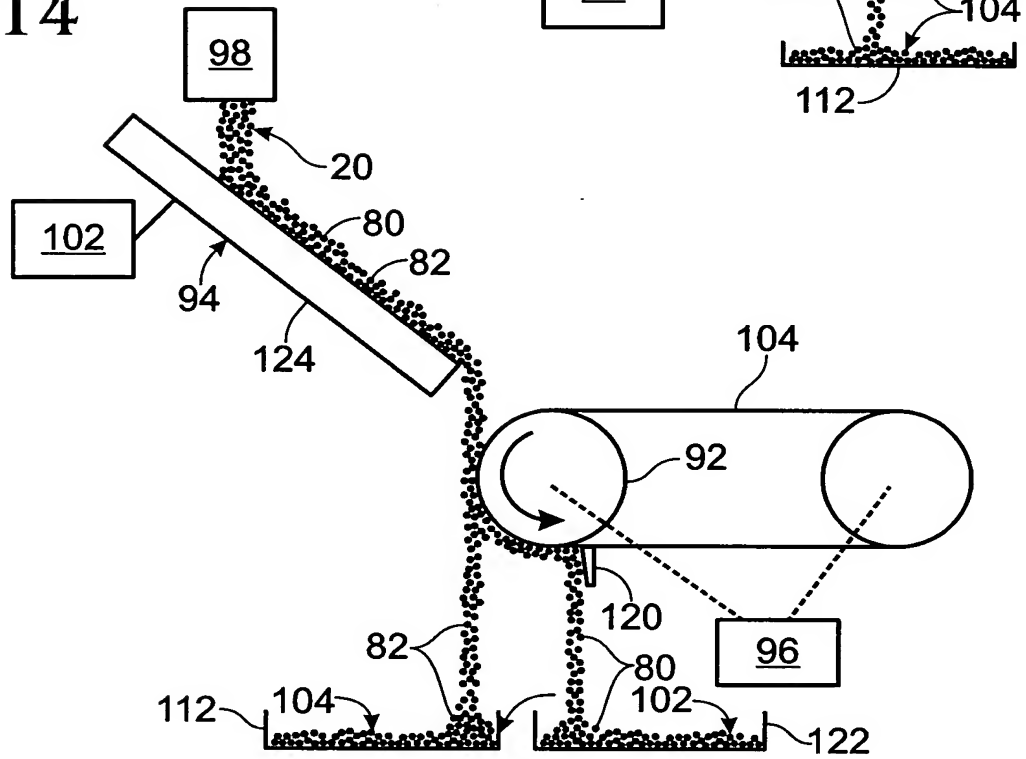
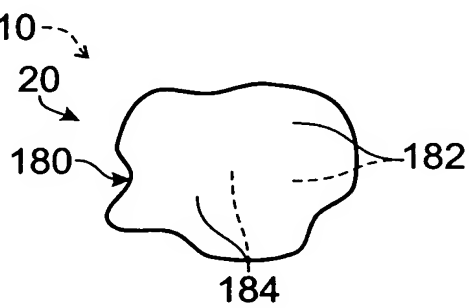


Fig. 15



5/11

Fig. 16

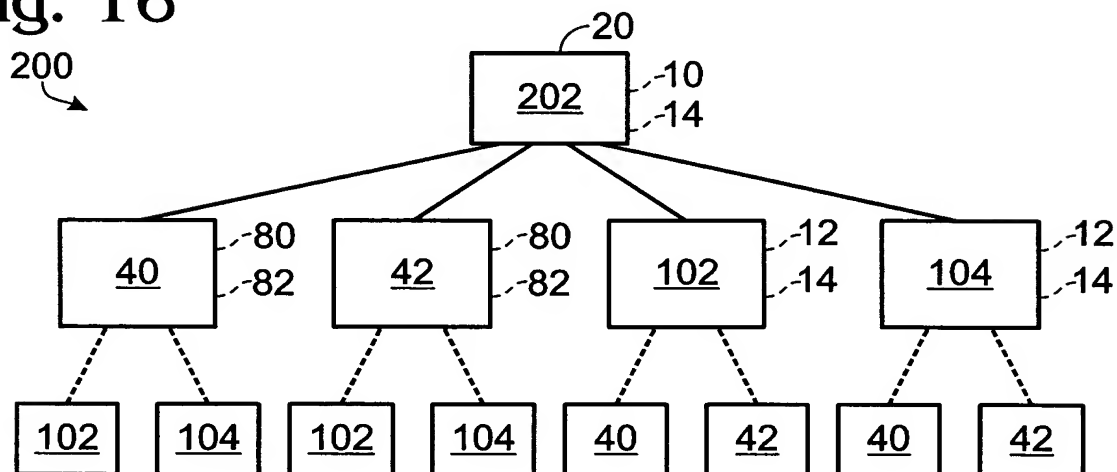
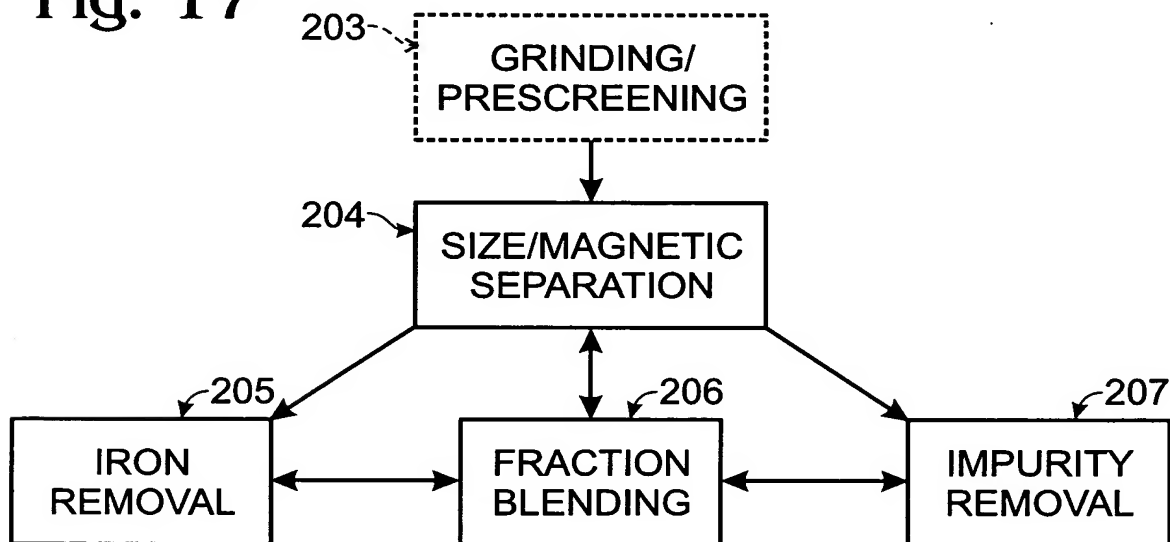


Fig. 17



6/11

Fig. 18

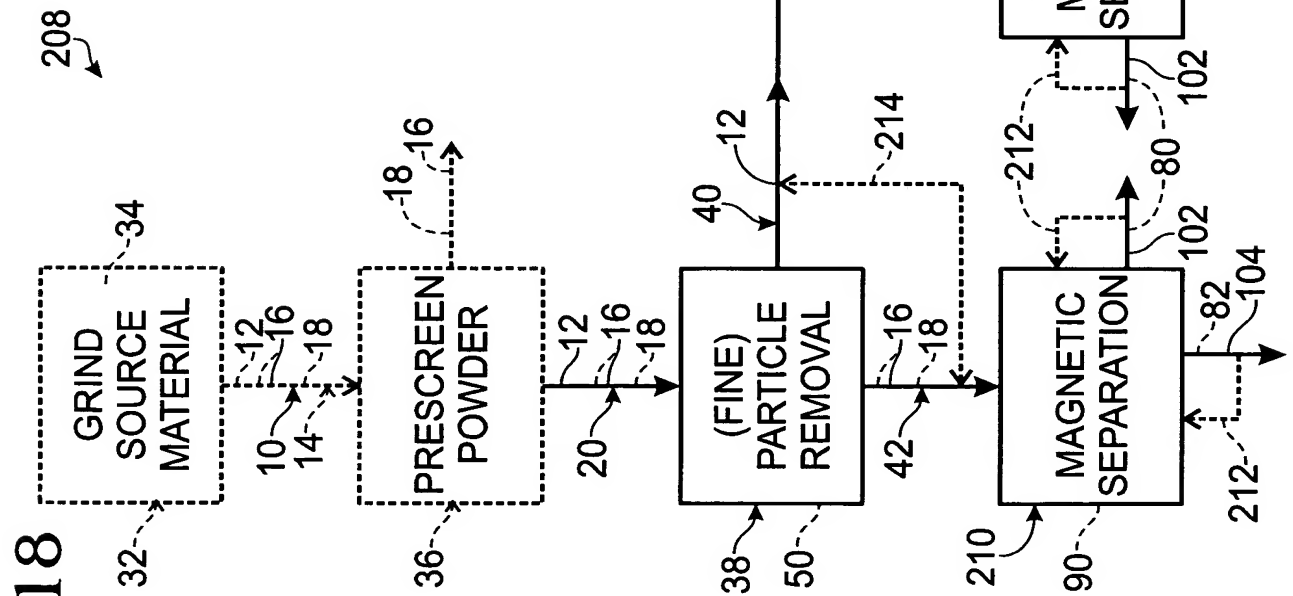
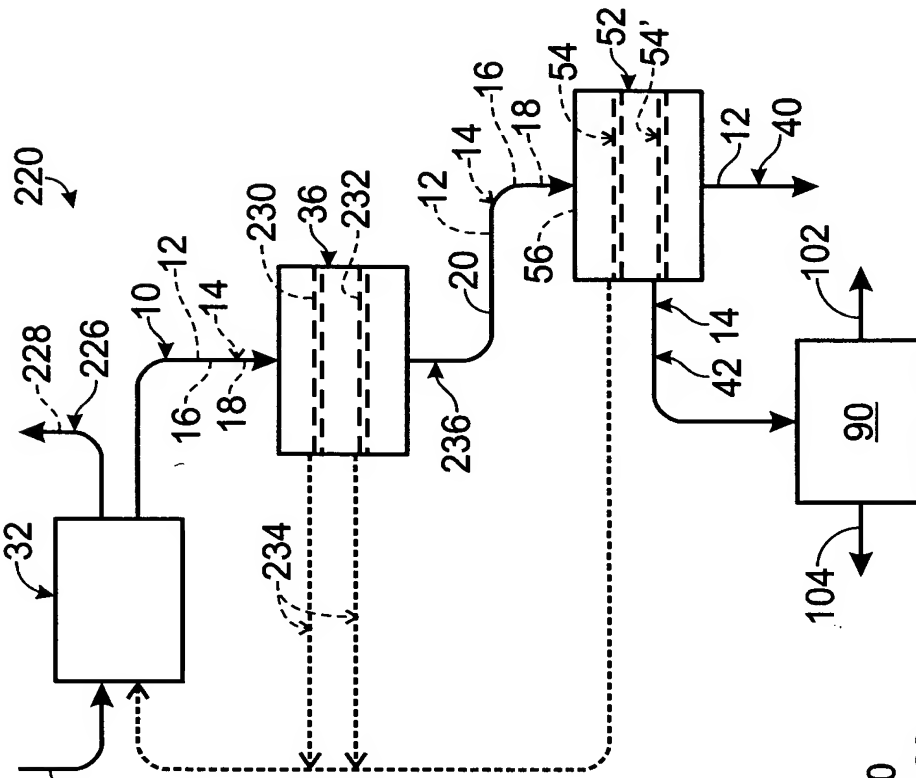


Fig. 19



7/11

Fig. 21

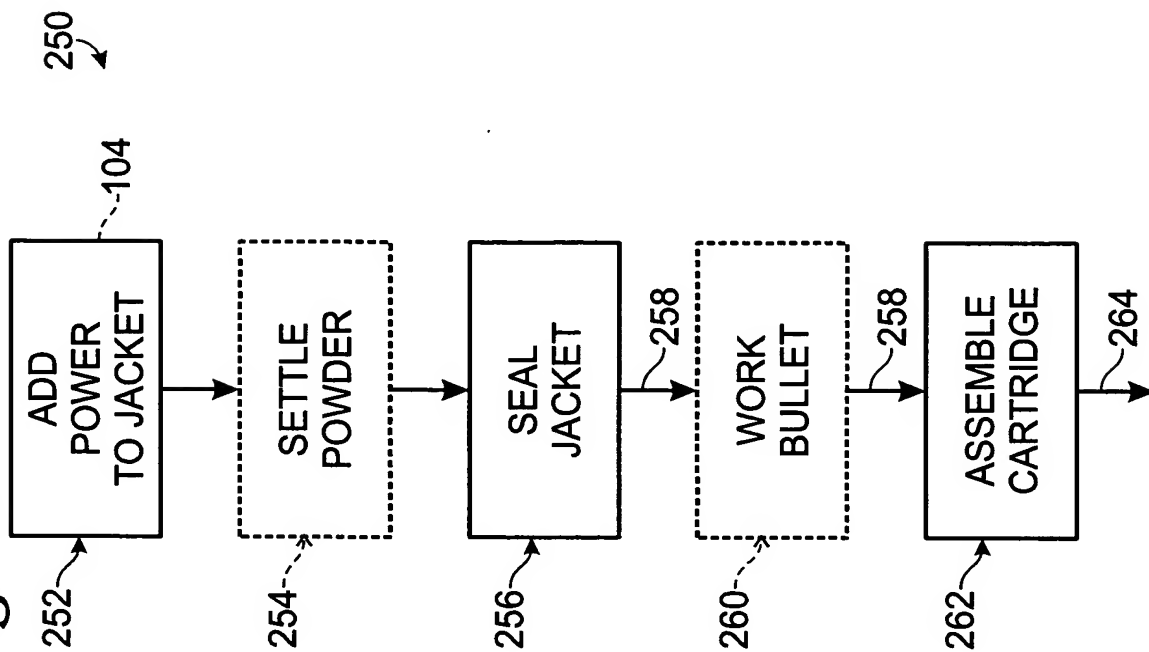
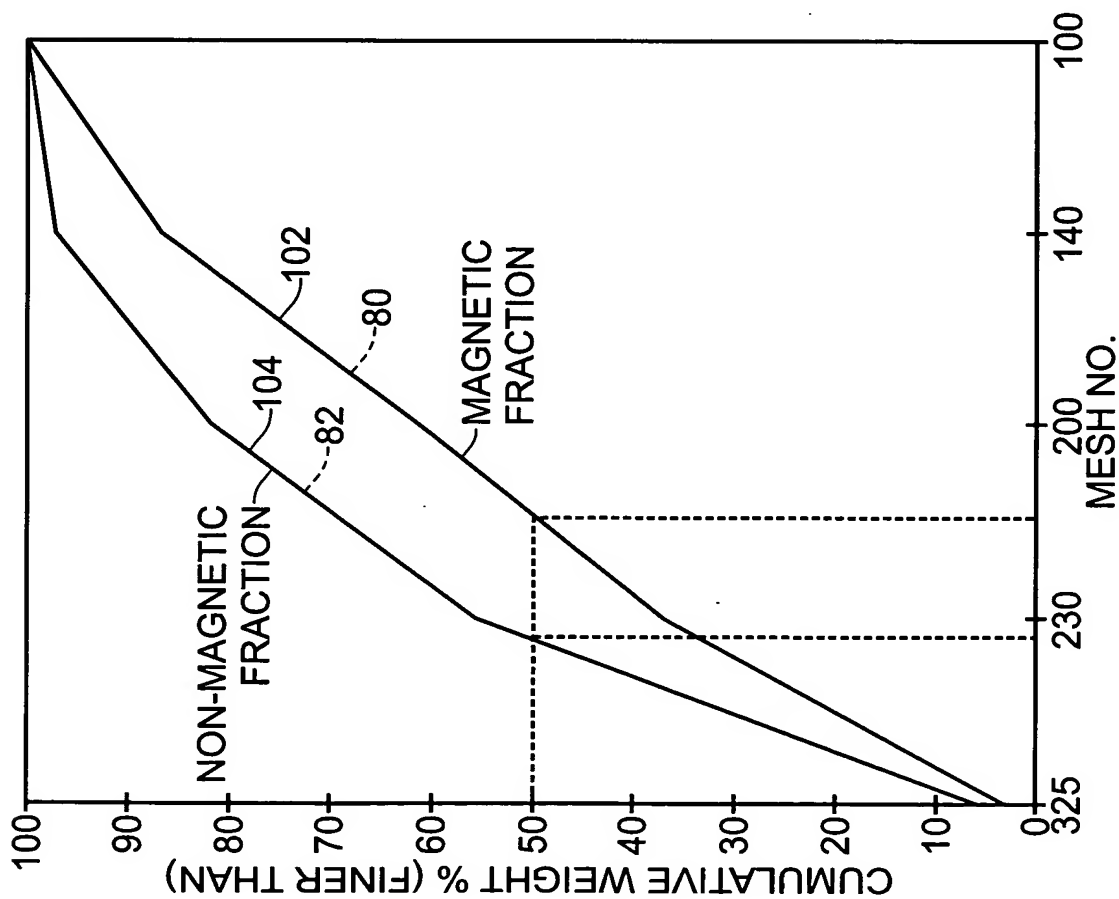


Fig. 20



8/11

Fig. 23

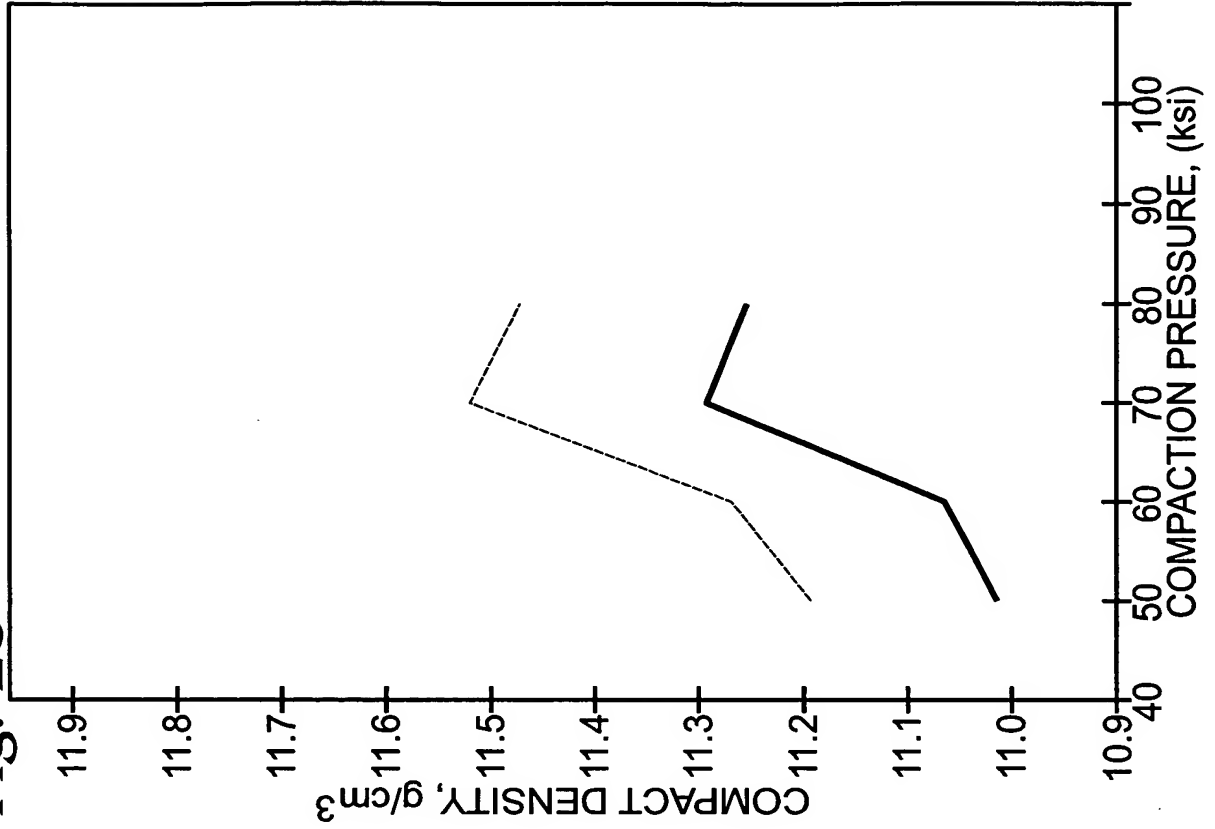
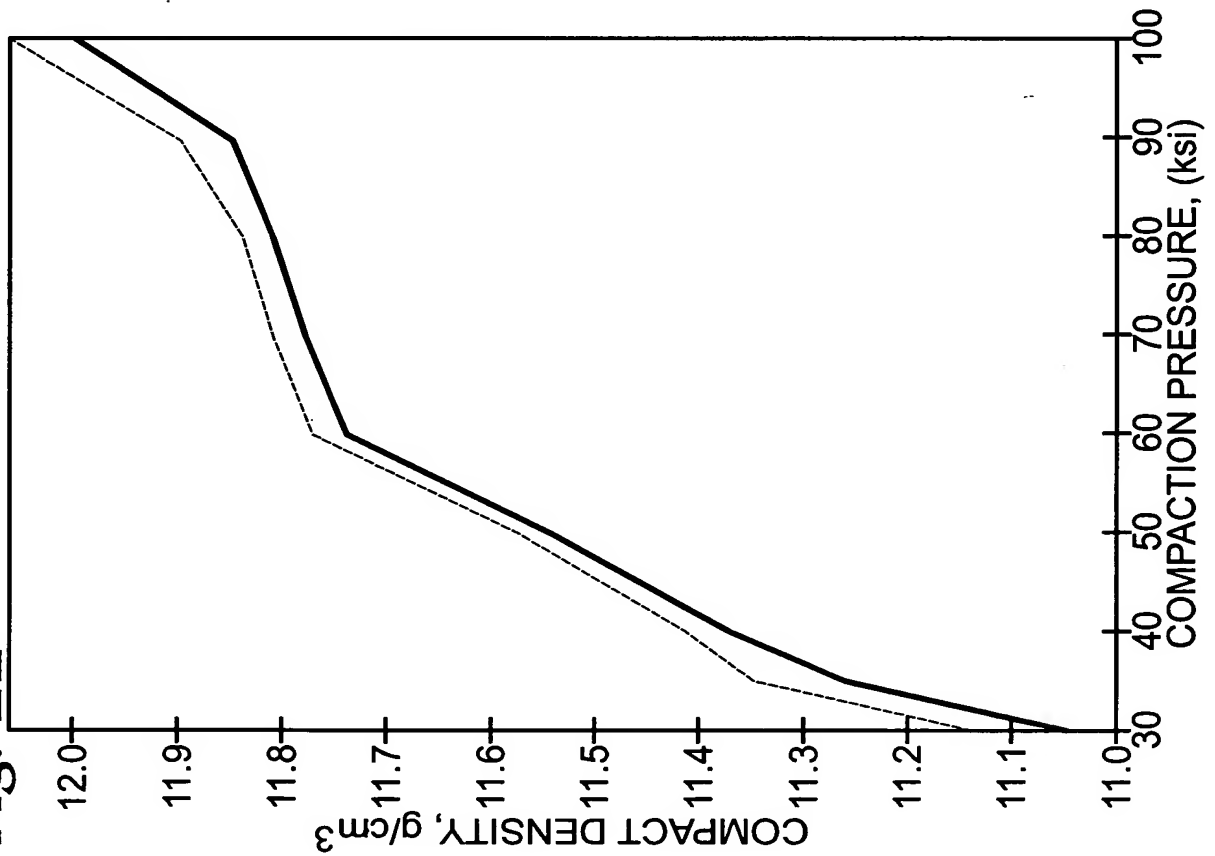


Fig. 22





9/11

Fig. 25

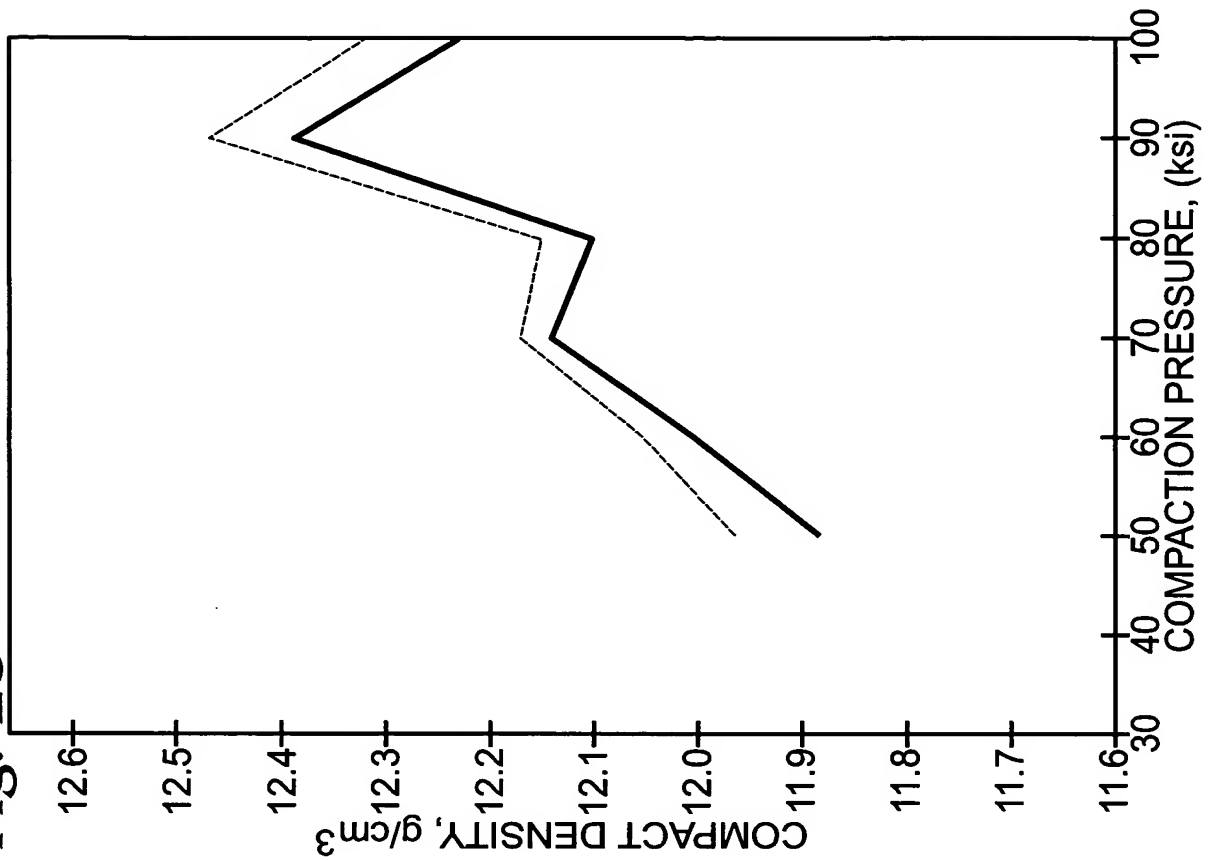
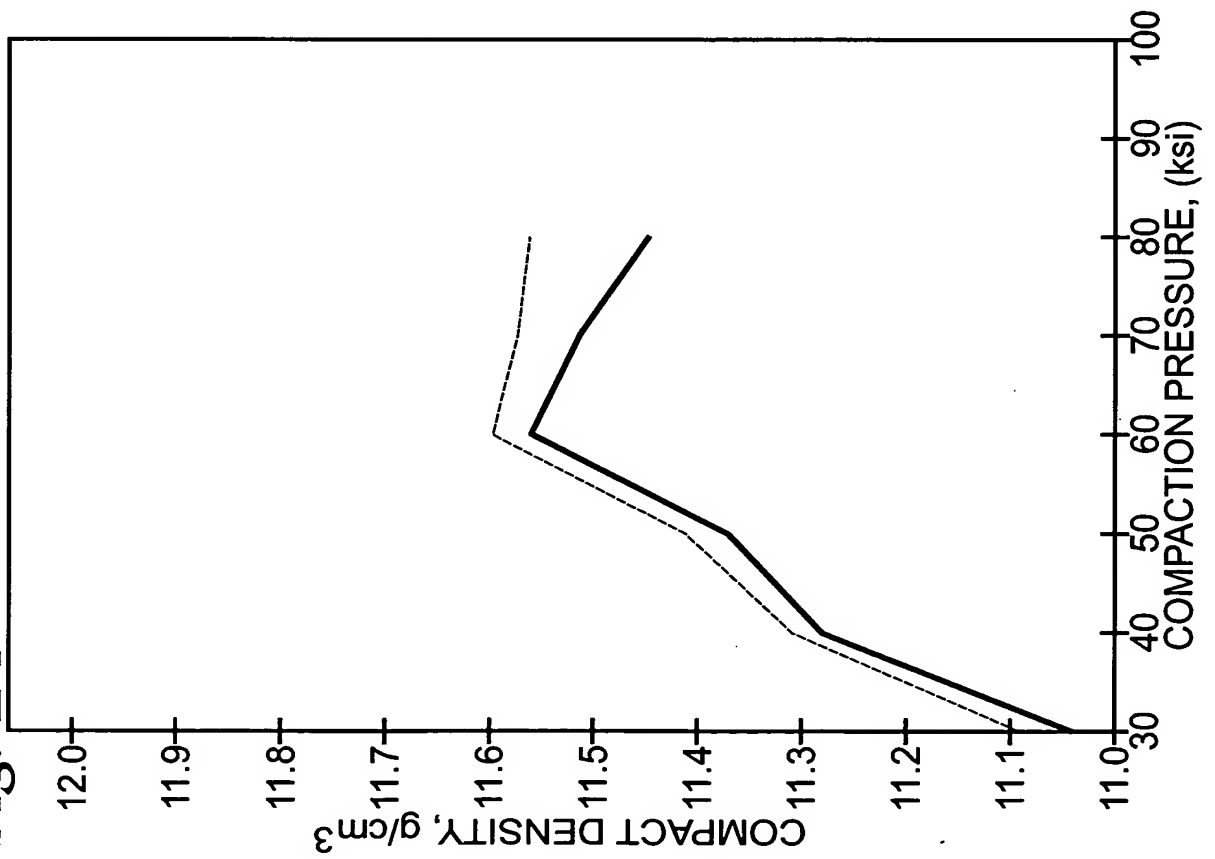
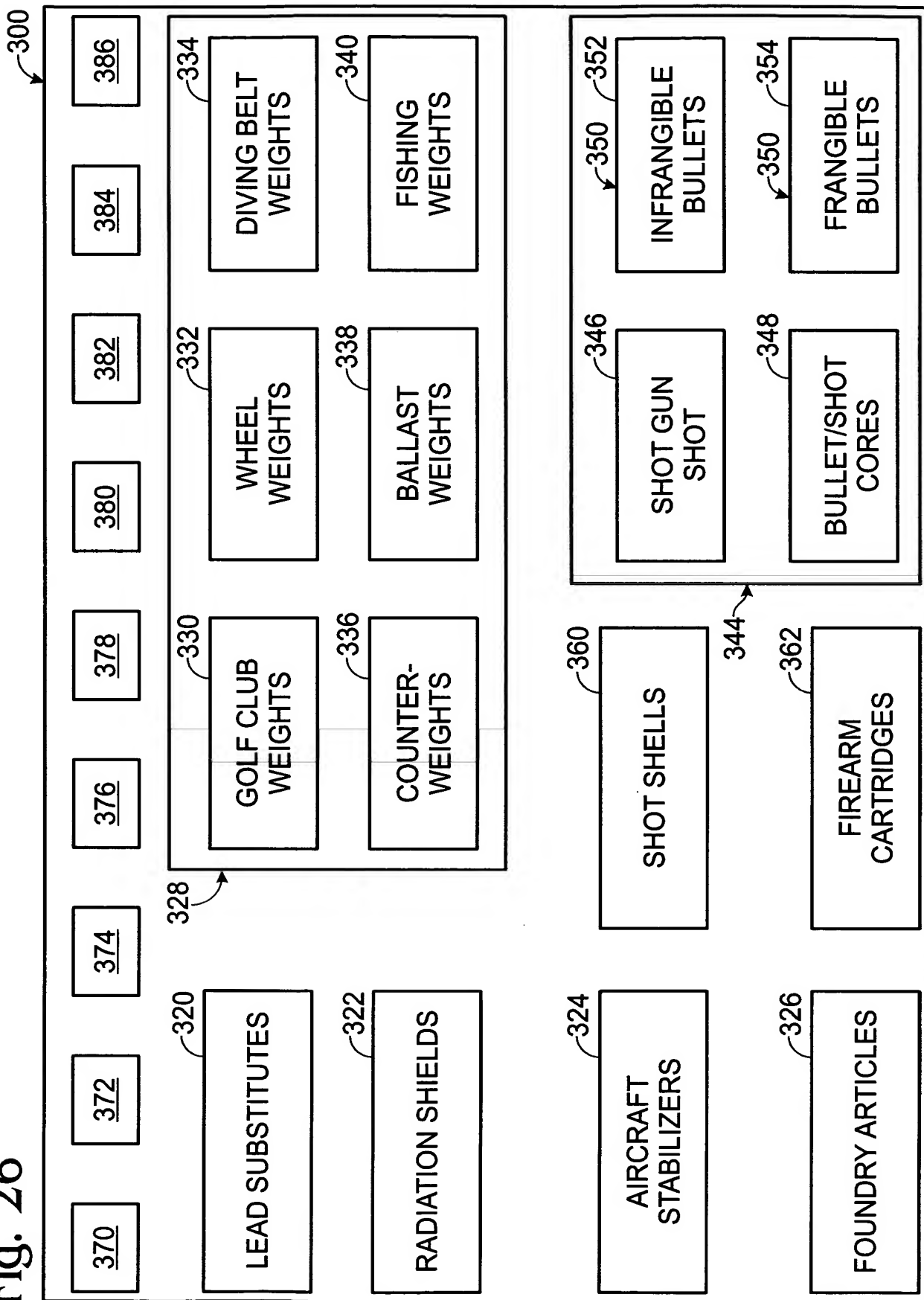


Fig. 24



10/11

Fig. 26



11/11

Fig. 27

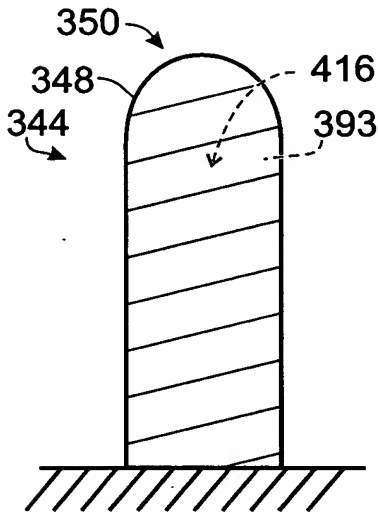


Fig. 28

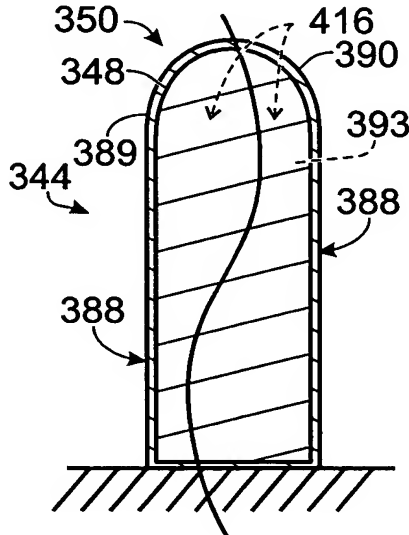


Fig. 29

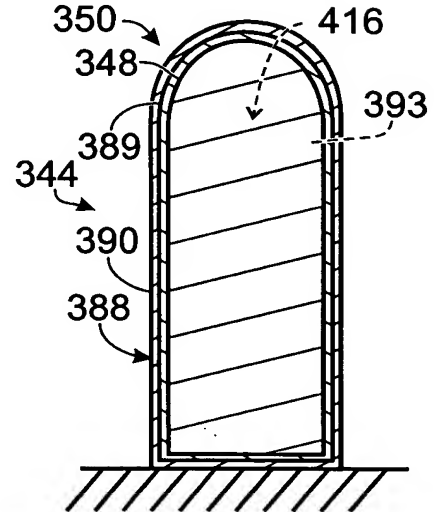


Fig. 30

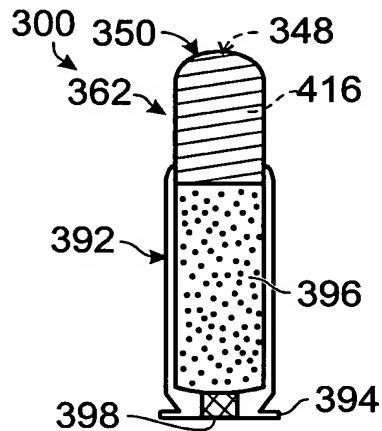


Fig. 31

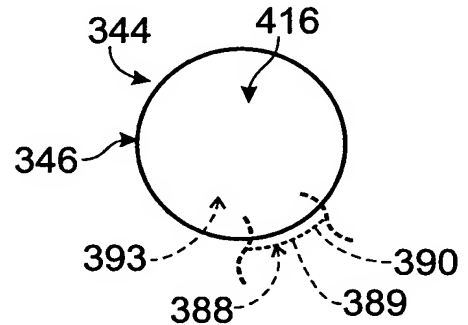


Fig. 32

